

ANEXOS A LA SOLICITUD DE DEPÓSITO DE LA LÍNEA CELULAR **BS PBIPS46-Sv4F-10** EN EL BANCO NACIONAL DE LÍNEAS CELULARES



ANEXOS

Anexo 1: Fenotipo. Marcadores de pluripotencia

Anexo 2: Diferenciación in vitro

Anexo 3: Cariotipo

Anexo 4: Resultados microsatélites

Anexo 5: Silenciamiento de los transgenes de reprogramación

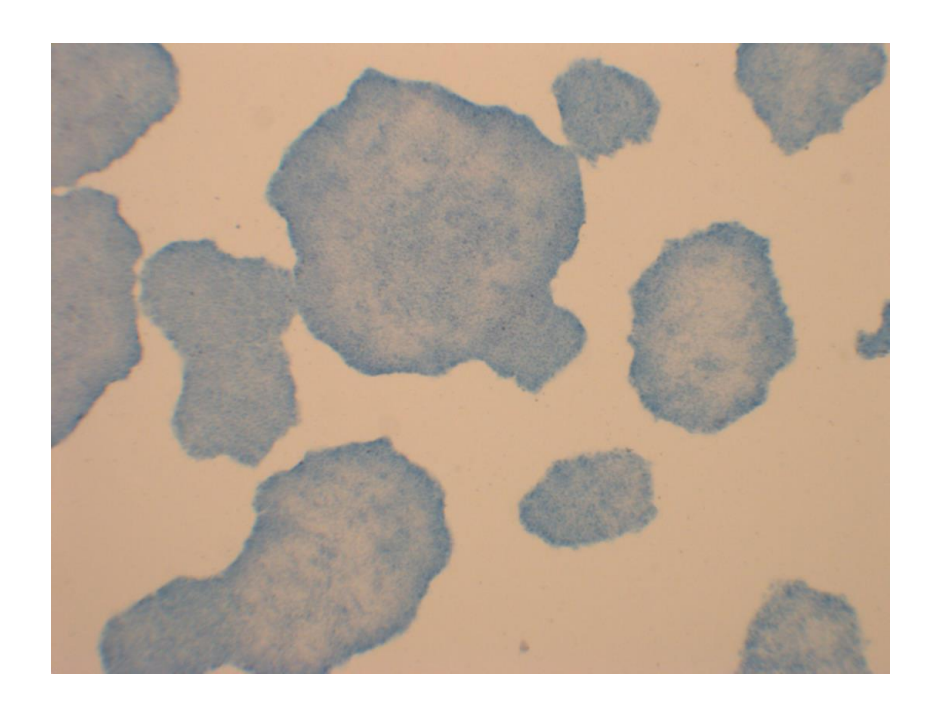
Anexo 6: Confirmación de la presencia de la mutación

Anexo 7: Resultado test de micoplasma



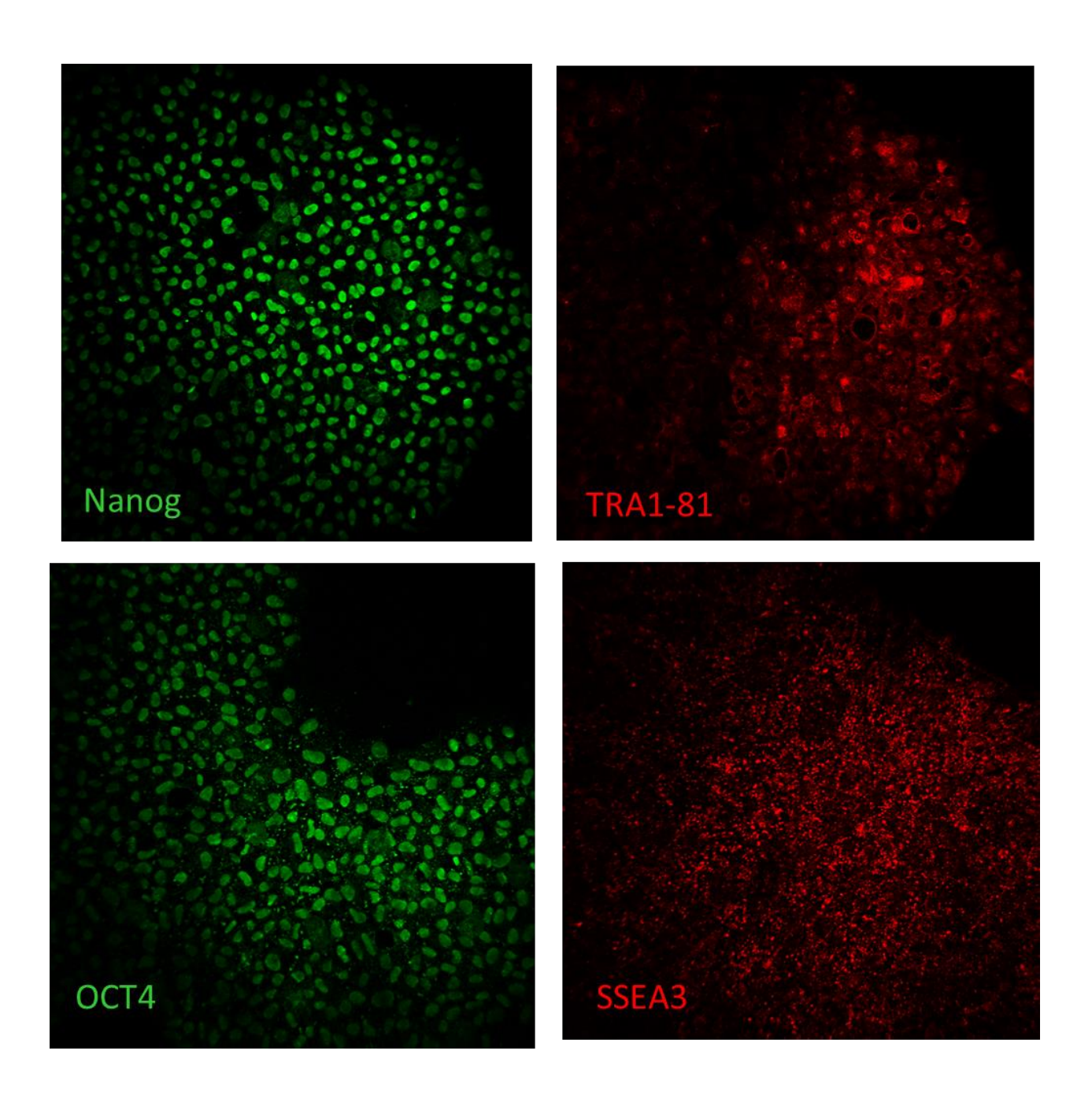
Anexo 1 Fenotipo. Marcadores de pluripotencia





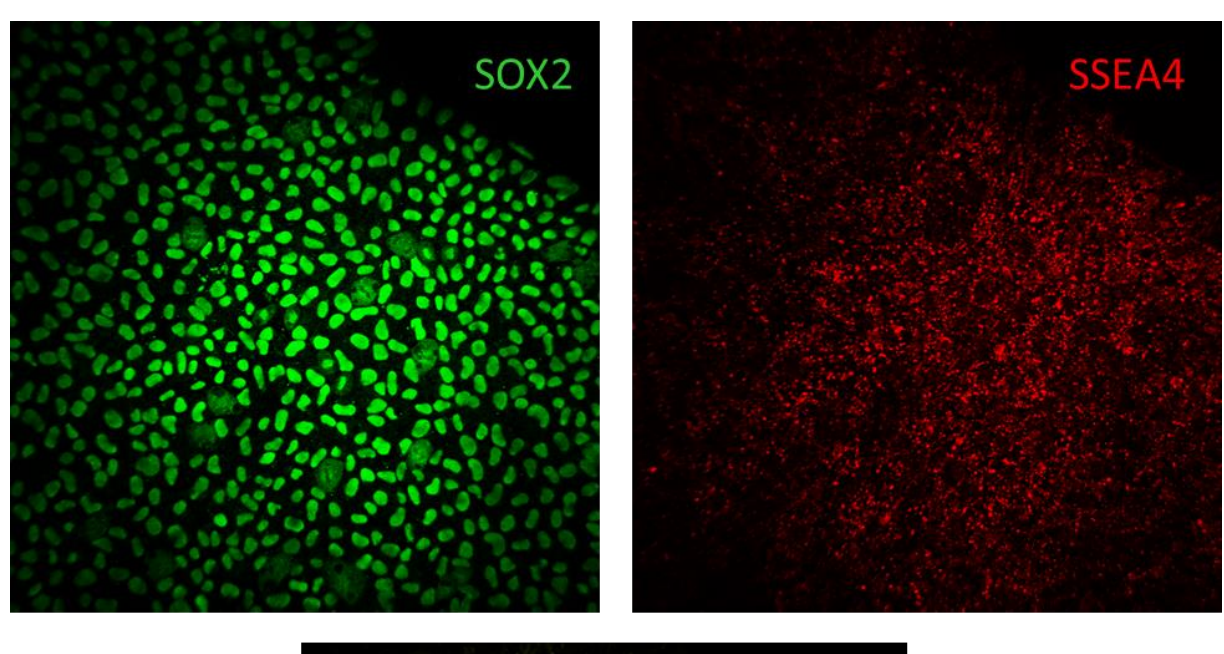
Actividad **fosfatasa alcalina** de la línea de células pluripotentes

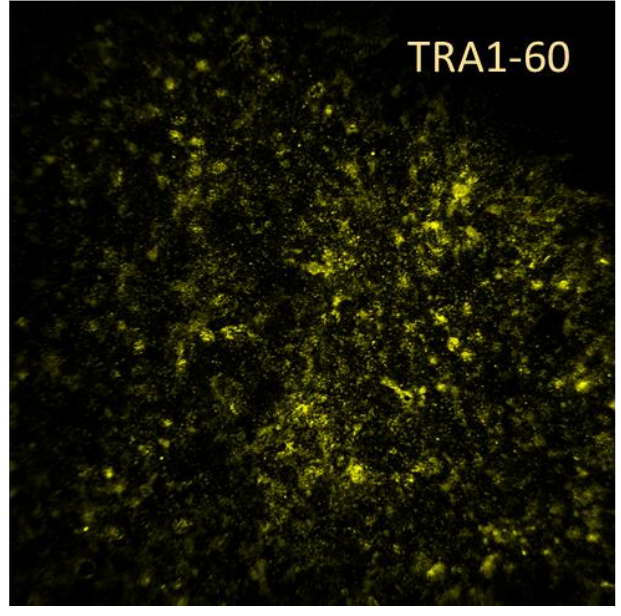




Resultado positivo por inmunocitoquímica para las proteínas de pluripotencia Nanog, TRA1-81, OCT4 y SSEA3.





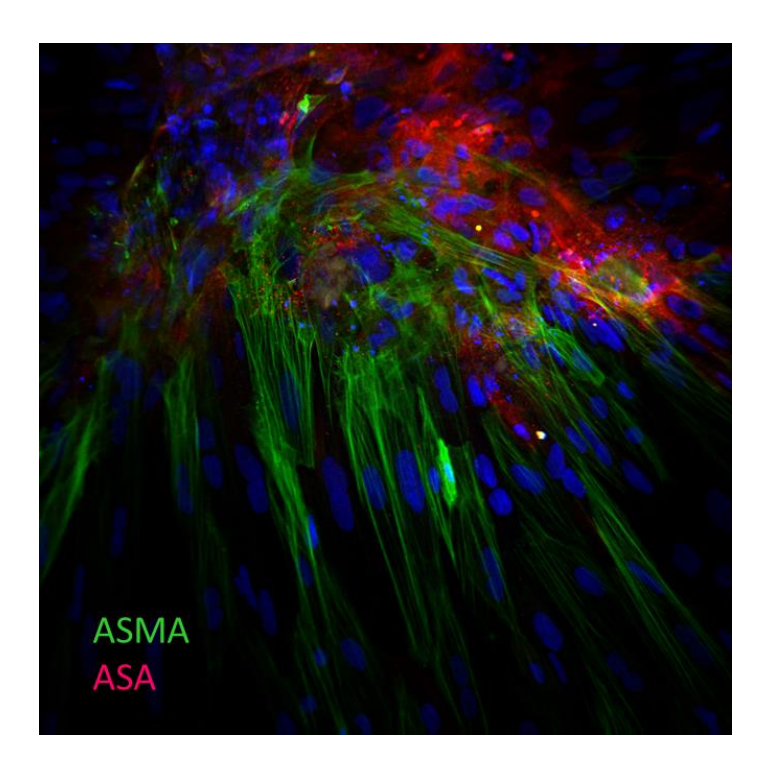


Resultado positivo por inmunocitoquímica para las proteínas de pluripotencia **Sox-2, SSEA-4** y **TRA1-60**

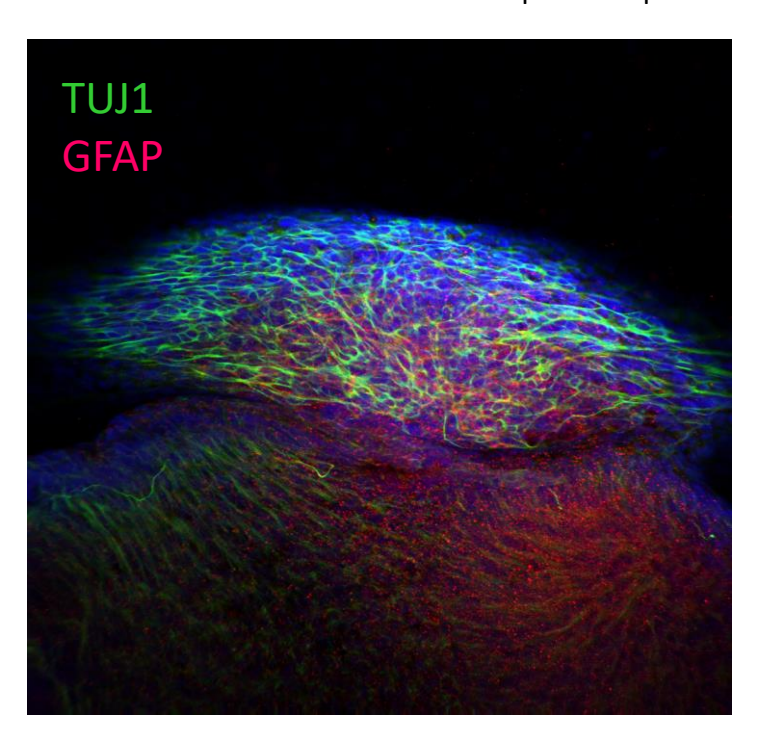


Anexo 2 Diferenciación *in vitro*



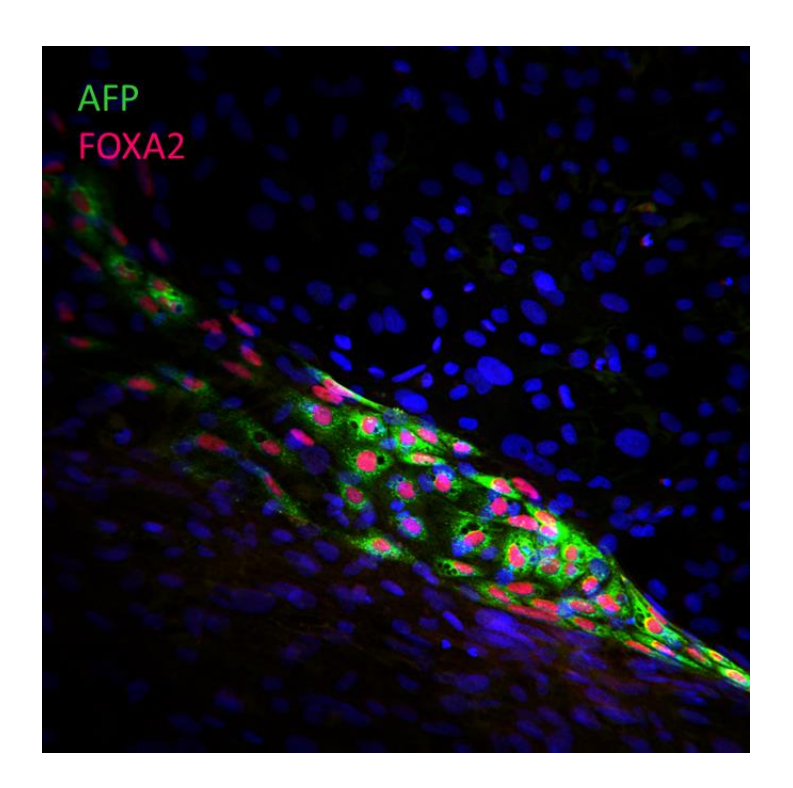


Diferenciación in vitro a mesodermo: Células positivas para ASMA y ASA



Diferenciación in vitro a ectodermo: Células positivas para Tuj1 y GFAP





Diferenciación in vitro a endodermo: Células positivas para AFP y FOXA2



Anexo 3 Cariotipo





ESTUDI CITOGENETIC

Case name: 92410481 NHC: CT0107

Nombre y Apellidos: BS PBiPS46 Sv4F-10 p14

Tipo de muestra: CM Servicio: CMRB



Case: 92410481 Slide: 1 Cell: 6

Resultado: 46,XY



Anexo 4 Resultado microsatélites





Biobanco del Sistema Sanitario Público de Andalucía CONSEJERÍA DE SALUD

v.04

Los resultados obtenidos son estudiados mediante el programa informático GeneMapper® 3.2. De acuerdo con la información suministrada por Promega® sobre su kit de amplificación GenePrint® 10 System, estos son los datos correspondientes de los alelos existentes para cada uno de los diferentes loci STR (figura1):



Table 5. The $\textit{GenePrint}^{\oplus}$ 10 System Allelic Ladder Information.

STR Locus	Label	Size Range of Allelic Ladder Components ^{1,2} (bases)	Repeat Numbers of Allelic Ladder Components				
TH01	FL	156-195	4-9, 9.3, 10-11, 13.3				
D21S11	FL	203-259	24, 24.2, 25, 25.2, 26–28, 28.2, 29, 29.2, 30, 30.2, 31, 31.2, 32, 32.2, 33, 33.2, 34, 34.2, 35, 35.2, 36–38				
D5S818	JOE	119-155	7-16				
D13S317	JOE	176-208	7-15				
D7S820	JOE	215-247	6-143				
D168539	JOE	264-304	5,8-15				
CSF1PO	JOE	321-357	6-15				
Amelogenin	TMR	106, 112	X, Y				
vWA	TMR	123-1 71	10-22				
TPOX	TMR	262-290	6-13				

¹The length of each allele in the allelic ladder has been confirmed by sequence analysis.

Figura 1. Información de la casa comercial Promega sobre la relación entre cada uno de los loci STR amplificados y las repeticiones (en rangos de tamaño y número) que pueden estar presentes en dichos productos de PCR.

RESULTADOS:

En la siguiente tabla se indican los resultados correspondientes a las variantes alélicas para cada locus STR en la muestra analizada.

		Loci STRs analizados									
	Código origen del ADN										i
Código biobanco	de la línea celular	TH01	D21S11	D5S818	D13S317	D7S820	D16S539	CSP1PO	AMEL	vWA	TPOX
INVN02519A555ADNA002	BS PBiPS 46-Sv4F-10 p12	6, 8	29	11	12, 13	9, 11	9, 11	11, 12	X, Y	15, 17	8, 11

Granada, a 15 de Noviembre de 2019

Laboratorio de Biología Molecular Biobanco del SSPA

When using an internal lane standard, such as the Internal Lane Standard 600, the calculated sizes of allelic ladder components may differ from those listed. This occurs because different sequences in allelic ladder and ILS components may cause differences in migration. The dye label also affects migration of alleles.

³HeLa cells have a microvariant allele 13.3 at the D13S317 locus. This will appear as an off-ladder allele (see www.cstl.nist.gov/strbase/var_D13S317.htm#Tri).



RESULTADOS:

En la siguiente tabla se indican los resultados correspondientes a las variantes alélicas para cada locus STR en la muestra analizada.

		Loci STRs analizados									
Código biobanco	Código origen del ADN de la línea celular	TH01	D21S11	D5S818	D13S317	D7S820	D16S539	CSP1PO	AMEL	vWA	TPOX
INVN02519A525ADNA002	Brugada S RB12146	6, 8	29	11	12, 13	9, 11	9, 11	11, 12	Х, Ү	15, 17	8, 11

Granada, a 15 de Octubre de 2019

Laboratorio de Biología Molecular Biobanco del SSPA

Análisis de microsatélites en la línea de hiPSC y en las células originales de las que procede.



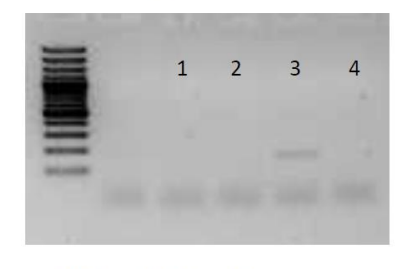
Anexo 5 Silenciamiento de los transgenes de reprogramación



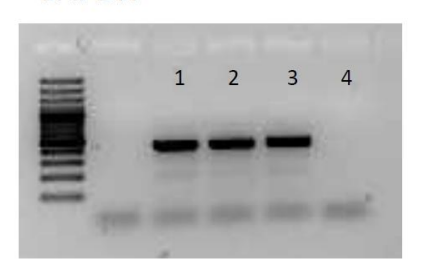
RT-PCR SENDAI 26/07/2019

- 1. BS PBiPS46 Sv4F-10, P7, 15.07.19
- 2. BS PBiPS46 Sv4F-13, P7, 09.07.19
- 3. Ctrl.BS PBiPS37 Sv4F-1, P8, 11.07.19
- 4. H2C

SeV (181pb)



GAPDH



KOS (528 pb)



C-Myc (532 pb)



Klf4 (410 pb)



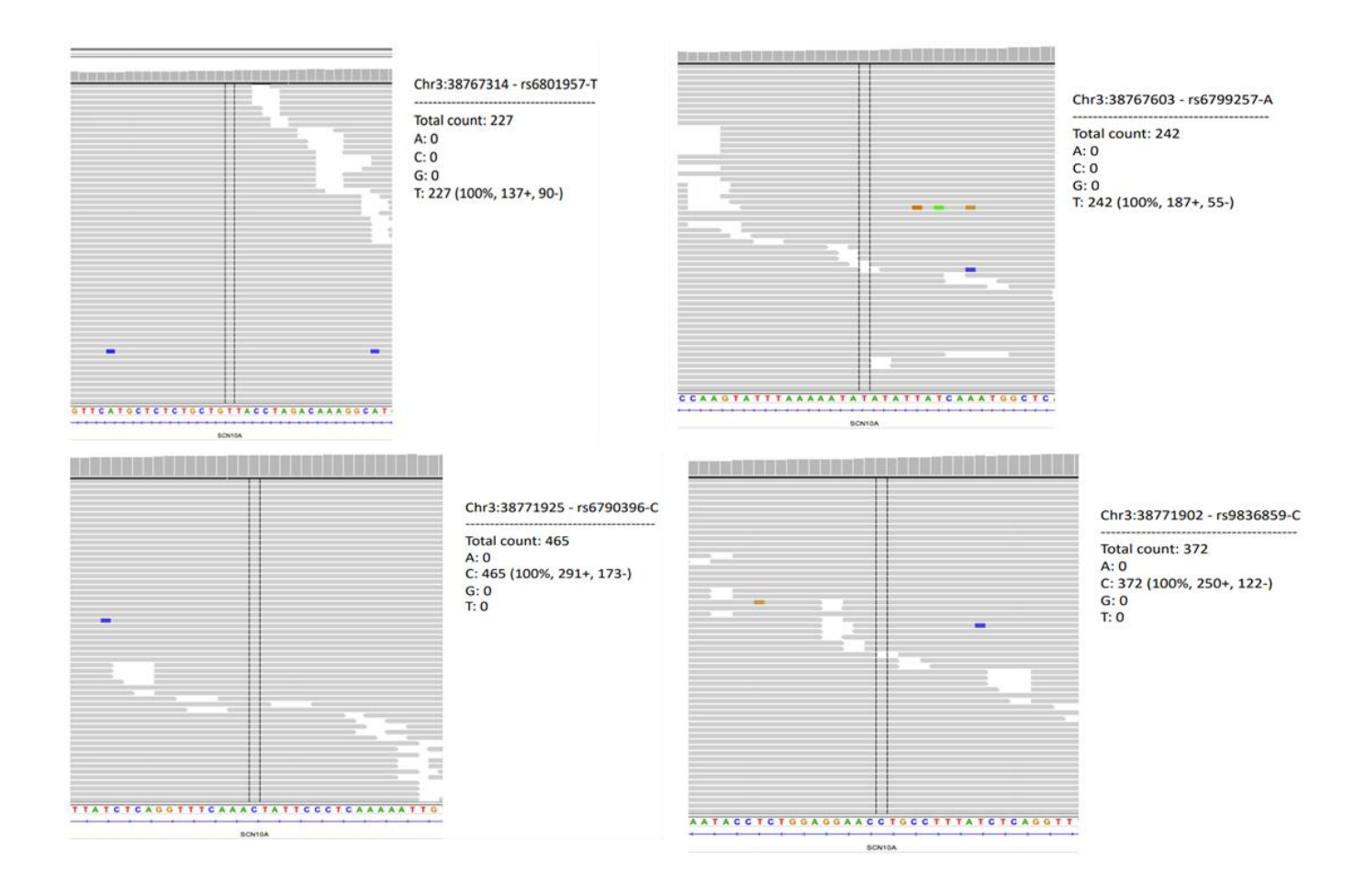
Silenciamiento de los transgenes de reprogramación Análisis RT-PCR que muestra los niveles de expresión de mRNA de los marcadores de pluripotencia endógenos



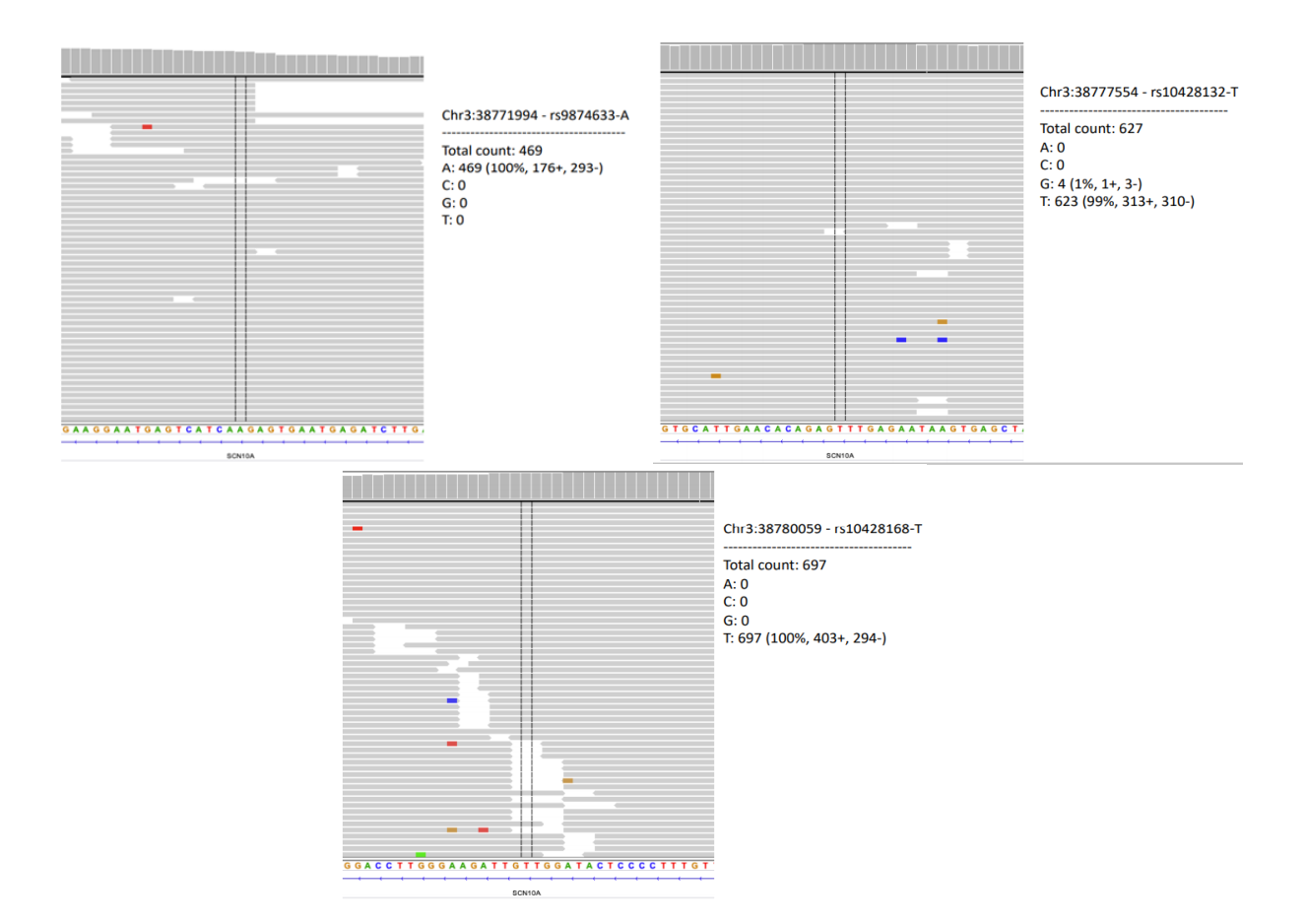
Anexo 6 Confirmación de la presencia de la mutación



Sequencing Brugada syndrome patient RB12146 using short-read sequencing

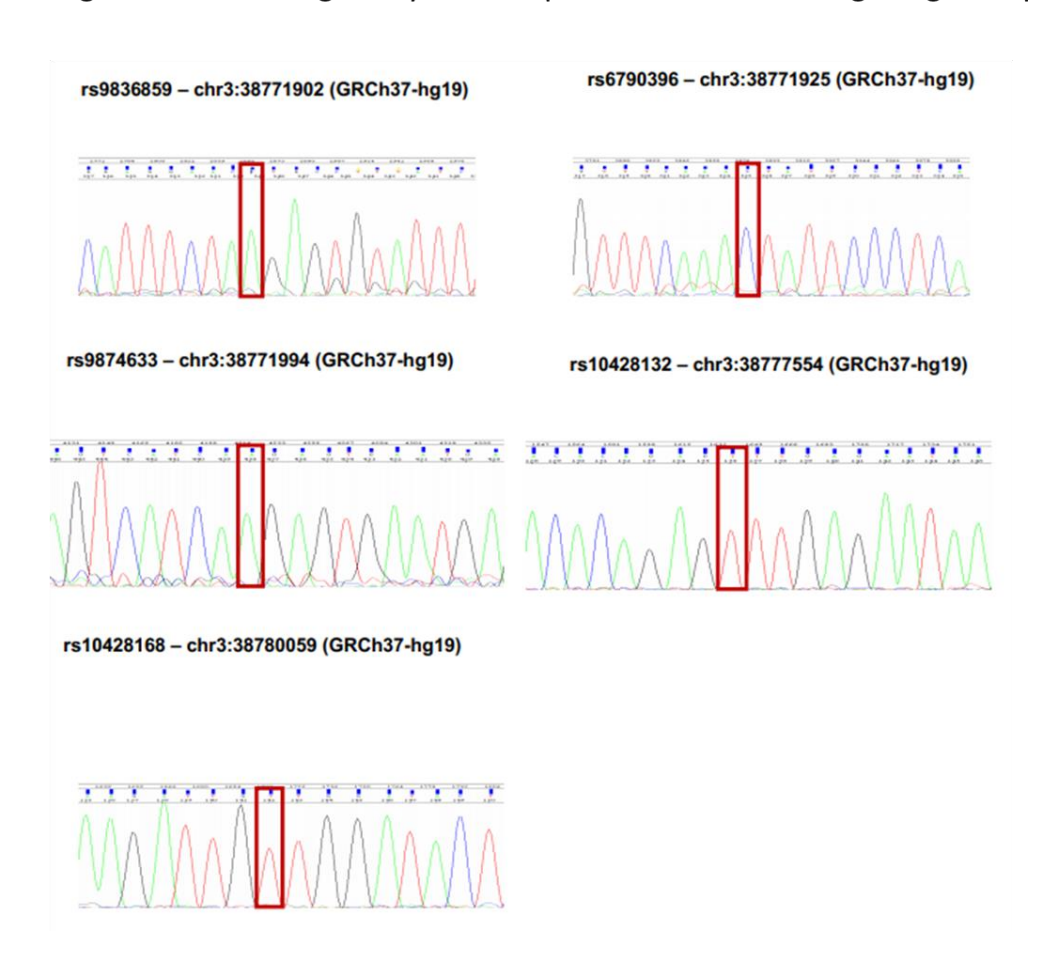








Sequencing hiPSC from Brugada syndrome patient RB12146 using Sanger sequencing



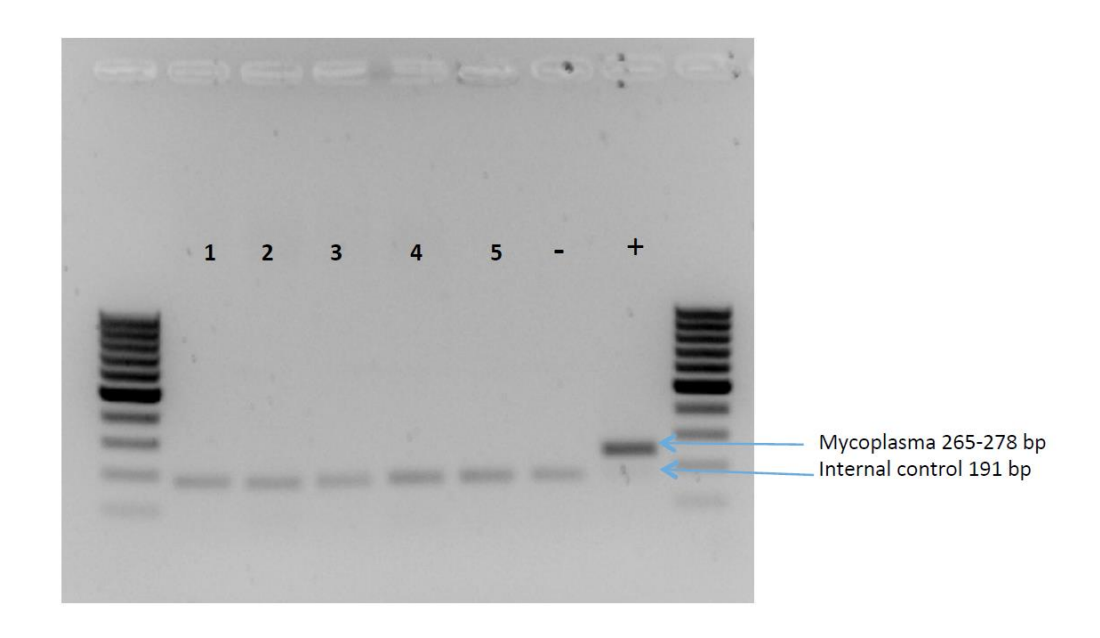
Se presentan los resultados de la secuenciación en células del paciente con Síndrome de Brugada y la comprobación de las mismas en la iPSC generada



Anexo 7 Resultado test de micoplasma



Mycoplasma test (VenorGeM Classic kit) 02/10/2019



5. BS PBiPS 46-Sv4F-10 p10